

開水路流れのせん断応力に関する実験的研究

東北大工学部 学生員○ 伴一彦
同上 正員 首藤伸夫
同上 学生員 金子範彦

1). まえがき 開水路において、潤邊に平均的に作用するせん断応力は掃流力公式で $= \rho g R I$ で与えられる。しかし実験室の小水路を用いて洗掘問題等を取扱う場合、側壁の影響を考えれば上記の掃流力公式では底面に働くせん断応力を正当に評価し得ないことが予想できる。本報告では、底面巾に比べて水深の大きな水路(側壁による影響が大きいと考えられる水路)における流速分布の実測値から、底面及び側壁に働くせん断応力を算定し、掃流力公式及び足立¹⁾、木村²⁾の方法から算定したせん断応力との比較を行なっている。又、せん断応力計を用いて行なったせん断応力の直接測定結果も参考までに記している。

2). 実験概要 水路の大きさは、 $50\text{cm} \times 10\text{cm} \times 600\text{cm}$ である。水路下流端は鉛直軸まわりに回転するゲートとし、流線に著しい乱れが生じないように配慮した。側壁はガラスで滑面、底面は鉄板で $Re_s = U_* K_s / \nu$ (U_* : 摩擦速度 K_s : 相当粗度 ν : 動粘性係数) が 60~95 であり粗面と考えられる。せん断応力計は受力板を水路底面の高さに合わせ、水平になるように設置した。受力板の寸法は、 $4\text{cm} \times 15\text{cm}$ で表面は滑面になっている。せん断応力計の空気中でのキャリブレーションでは、測定誤差 5% 以下であった。流速分布の測定は、当初ピトー管と小型プロペラ計の 2 方法で行なったが、測定値に大きな差を生じる為、水素気泡写真による判定の結果 (Fig.1) 小型プロペラ流速計の値を採用することにした。測点は、せん断応力計中心部上断面において横断方向 7 点 (左側壁より $1.0\text{cm}, 20\text{cm}, 3.5\text{cm}, 5.0\text{cm}, 6.5\text{cm}, 8.0\text{cm}, 9.0\text{cm}$) 鉛直方向 12 点 (底面より $0.5\text{cm}, 1.0\text{cm}, 1.5\text{cm}, 20\text{cm}, 30\text{cm}, 40\text{cm}, 50\text{cm}, 6.0\text{cm}, 8.0\text{cm}, 10.0\text{cm}, 15.0\text{cm}, 20.0\text{cm}$) の計 84 点である。又水面勾配の測定には、マノメーターを用いた。実験条件は水深を $H/B = 2.5, H_2/B = 1.25$ の 2 通りに変化させ、そのうち H_1 に対しては $Q = 1.95\text{sec} \sim 8.10\text{sec}$ で 6 種類、 H_2 に対しては $Q = 100\text{sec} \sim 4.00\text{sec}$ で 4 通りに Q を変化させた。

3). せん断応力の算定 流速の実測結果から鉛直方向の流速分布は、底面から 3 cm 程度までは横断方向の位置、平均流速、水深の変化にかかわらず対数則が成立する。(Fig.2 参照) (1) 式で $K = 0.4$ と仮定し、 $U(z)$ と Z の実測値より摩擦速度 U_{*B} $= \sqrt{gB/\rho}$ を求め、間接的に B を算定する。

$$\frac{U(z)}{U_{*B}} = \frac{1}{K} \ln \left(\frac{z}{z_0} \right) \quad (1)$$

ここで Z 底面からの高さ $U(z)$: Z における流速 K : カルマン定数

z_0 : 水路底面の粗滑状態に支配される積分定数 \bar{B} : 底面に働くせん断応力

\bar{B} の横断方向の分布を求めると、ほぼ水路中央部で最大値をとるような凸型分布になっている。(2)式より求めた \bar{B} と \bar{B}_{max} との関係を示したのが Fig.3 である。 $\bar{B}_{max}/\bar{B} = 1.5 \sim 2.0$ となり、おり、両者の間に良い相関のあることがわかる。

$$\bar{B} = \frac{1}{B} \int_0^B B dy \quad (2)$$

ここで B : 水路巾

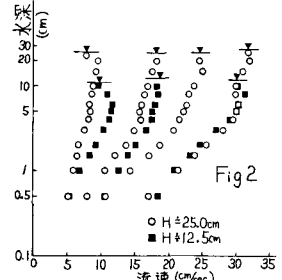
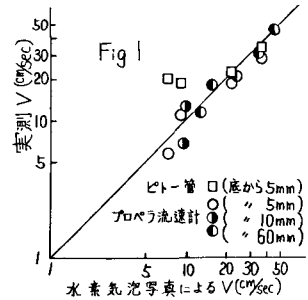
\bar{B} : 底面に働く平均的せん断応力

側壁に働くせん断応力値及び分布についても底面と同様の手順により算定することができる。計算では、側壁から 3.5cm までの $U(z)$ を実測値を用いて \bar{B} を求めた。 \bar{B} の分布型は、 \bar{B} が著しく分布型を見出せなかった。なお \bar{B}_s の算定には (3)(4)(5) 式を用いた。

$$\frac{U(z)}{U_{*s}} = \frac{1}{K} \ln \left(\frac{z}{z_0} \right) \quad (3)$$

$$U_{*s} = \sqrt{\frac{gS}{\rho}} \quad (4)$$

$$\bar{B}_s = \frac{1}{H} \int_0^H S dz \quad (5)$$



ここで s : 側壁からの距離 $U(s)$: s における流速 w : 側壁の粗滑状態に支配される積分定数 \bar{v}_s : 側壁に働く平均的せん断応力 H : 水深 4)。掃流力公式及び足立、木村の方法との比較 ある水路の単位長さ当たりの掃流力の総和 X_1 はカの平衡条件より(6)式であらわされる。一方(2)(5)式より求めた \bar{v}_B , \bar{v}_S を用いて同様に掃流力の総和 X_2 を求めるとき(7)式であらわされる。理想的には、(6)=(7)になるはずである。

$$X_1 = wA I \quad (6) \quad X_2 = 2H\bar{v}_S + B\bar{v}_B \quad (7)$$

ここで w : 水の単位重量 A : 流水断面積 I : 動水勾配

Fig4は、(6)(7)式より求めた X_1 , X_2 の相関関係を示したものである。図の中の I_m は実測値、 I_c は $I = v^2 n^2 / R^{4/3}$ においてひ, R の実測値と $m=0.013$ を用いて求めた値である。 $X_2/X_1 \approx 1.0 \sim 1.3$ であるが、流水断面での Totalなカの釣り合いを考えるならば、実測流速から求めた \bar{v}_B , \bar{v}_S では おむね妥当な値であると言える。Fig5は、掃流力公式から求めた \bar{v} と \bar{v}_B , \bar{v}_S の相関を求めたものである。 $\bar{v}_B/\bar{v} \approx 1.2 \sim 1.5$, $\bar{v}_S/\bar{v} \approx 0.6 \sim 1.0$ であり本実験では側壁の影響をかなり受けていると言える。この結果と Fig3 の結果を考え合わせれば、底面に働く \bar{v}_{max} は掃流力公式から求めた \bar{v} の実に2~3倍に達する事になる。次に長方形水路の側壁効果の算定方法として、流水断面分割法の1つである足立の方法と水平、鉛直の2方向の又は元流れの組み合せを考えた木村の方法を選び、実験値との比較を行なったのが Fig6 である。両者とも実験値と良い対応を示しており、中に比べて水深の大きな水路においても両者を適用できることがわかる。

5). せん断応力計による実測 今回の実験では流速分布によるせん断応力の間接的測定に並行して、せん断応力計による直接測定も試みた。Fig7が結果であり、相関は良いものの実測値 \bar{v}_{max} が \bar{v}_{Bmax} に比べて $1/3 \sim 1/5$ とかなり小さい値になっている。原因是、受力板が滑面であり水路底面との粗滑状態が不連続になっていることによると考えられる。したがって、受力板に適当な粗度をつけて今後再実験する必要がある。

6). 結論 ① H/B の大きな水路で側壁及び底面の速度分布に対数則を適用して算定した \bar{v}_B , \bar{v}_S が、流水断面での Totalなカの釣り合いを考えるなら掃流力公式とよく一致する。② $H/B = 2.5 \sim 1.25$ の条件で $\bar{v} = PQRI$ とすると、 $\bar{v}_B = 1.2 \sim 1.5$, $\bar{v}_{max}/\bar{v} = 2 \sim 3$ となり底面に働くせん断応力は、掃流力公式で与えられる値より大巾に大きな値となる。③ H/B の大きな水路においても足立、木村の方法により算出した \bar{v}_B , \bar{v}_S の値が実測値と一致する。したがって、水路の K_s と Manning の n がわかっているれば、等流状態で Q , H , B の実測値より \bar{v}_B , \bar{v}_S の算出が可能である。しかし側壁、底面のそれぞれの平均的なせん断応力としてしか表現し得ず、局所的な値の算定はむずかしい。④ 洗掘開始条件を決めるのは、 \bar{v}_B ではなく \bar{v}_{max} であろうから、この水路でしかもここでの実験条件下では、 $\bar{v}_{max} = 1.774 \bar{v}_B^{0.961}$ で計算する方が良い。

〈参考文献〉 1)足立昭平: 土木学会論文集81号 1962 P17~24 2)木村喜代治: 土木学会論文集 251号 1976 P45~56

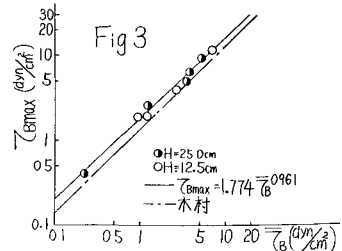


Fig 3

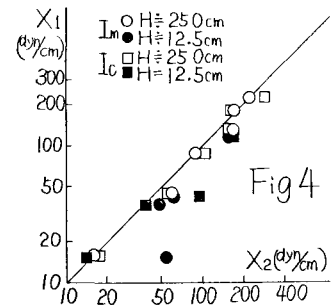


Fig 4

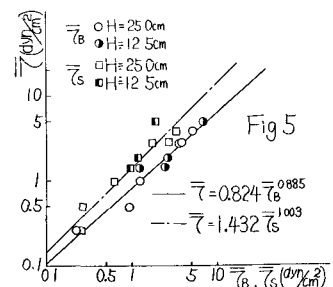


Fig 5

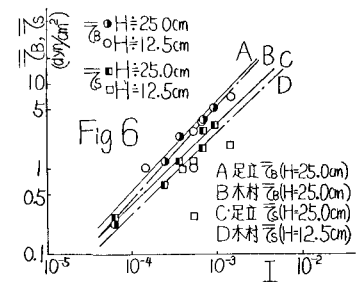


Fig 6

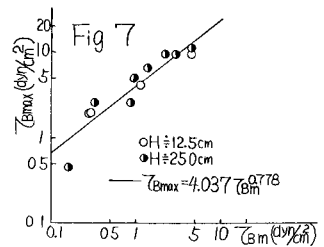


Fig 7